Révision: 8844

Titre: SSLL102 - Poutre encastrée soumise à des efforts u[...]

Date: 24/04/2012 Page: 1/18 Responsable : Jean-Luc FLÉJOU Clé: V3.01.102

SSLL102 - Poutre encastrée soumise à des efforts unitaires

Résumé:

Ce test permet une vérification simple des calculs de poutres droites et coque 1D en mécanique des structures statique linéaire. Le modèle est linéique.

Les modélisations A, B, C, D, F, G, J et K permettent de tester les différents types d'éléments de poutres droites dans Code_Aster. Pour chaque modélisation, on calcule simultanément 3 poutres de sections différentes : rectangle, cercle, cornière.

La modélisation A permet de plus de tester le changement de repère : la poutre est orientée suivant la trisectrice au repère global.

La modélisation E teste le chargement réparti sur des arêtes d'éléments volumiques.

La modélisation F correspond à un chargement réparti variant linéairement avec la modélisation POU D E.

La modélisation G correspond à un chargement réparti variant linéairement avec la modélisation POU D TG.

La modélisation H permet de tester l'élément de coque 1D (COQUE C PLAN) soumise à des charges unitaires.

La modélisation I permet de tester un chargement réparti variant linéairement avec la modélisation TUYAU 3M.

Les valeurs testées sont les déplacements, les efforts généralisés et les contraintes.

Date: 24/04/2012 Page: 2/18 Responsable : Jean-Luc FLÉJOU Clé: V3.01.102 Révision: 8844

Problème de référence

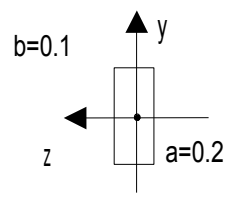
Géométrie

Poutre droite de longueur L, de direction x. Les dimensions sont exprimées en mètres, [m].

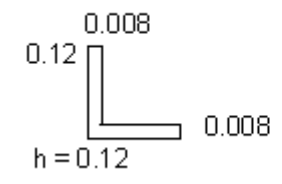


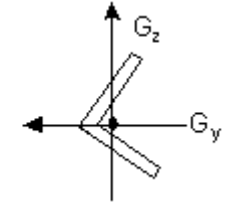
On calcule simultanément 3 types de sections transversales différentes :

1 section rectangulaire

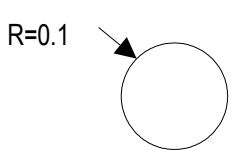


1 section cornière à ailes égales





1 section circulaire



1.2 Propriétés de matériaux

Module d'Young: $E = 2.10^{11} Pa$ Coefficient de Poisson: v=0.3

1.3 **Conditions aux limites et chargements**

Encastrement en O

6 chargements unitaires en B:

Mx = 1Fx=1Fv=1Mv = 1Fz=1Mz = 1

1 chargement combiné flexion plus traction : Fx=1 ; My=1 ; Mz=1 ;

1 chargement combiné efforts tranchants plus torsion : Fy=1 Fz=1 Mx=1

1 chargement réparti linéaire : $F_y = 1000.x$ section circulaire (modélisations F, G, I) (avec appui simple en A et B dans ce cas)

1.4 Notation des caractéristiques de sections transversales

Responsable : Jean-Luc FLÉJOU

Date : 24/04/2012 Page : 3/18 Clé : V3.01.102 Révision : 8844

Les caractéristiques géométriques des sections transversales sont notées :

A aire de la section

 $I_{_{_{\!\!\!\!\!V}}},I_{_{z}}$ moments d'inertie géométriques par rapport aux axes principaux d'inertie

de la section

JX constante de torsion

ay , az coefficients de cisaillement dans les directions $G_{\mathcal{V}}$ et $G_{\mathcal{Z}}$

 $A_{y}^{'} = \frac{A}{ay}$ et $A_{z}^{'} = \frac{A}{az}$

aires réduites équivalentes

 e_{y} , e_{z} excentricité du centre de torsion JG constante de gauchissement

Date: 24/04/2012 Page: 4/18

Titre : SSLL102 - Poutre encastrée soumise à des efforts u[...]

Responsable : Jean-Luc FLÉJOU Clé : V3.01.102 Révision : 8844

2 Solution de référence

2.1 Méthode de calcul utilisée pour la solution de référence

Solution analytique [bib1] et [bib2] : déplacements en $\,B\,$

Traction simple
$$u_x = \frac{F_x L}{ES}$$
 Flexion simple
$$u_y = \frac{F_y L^3 (4 + \phi_y)}{12 E I_z} \qquad \theta_z = \frac{L^2 F_y}{2 E I_z} \qquad \phi_y = \frac{12 E I_y}{L^2 G A_y}$$
 Flexion simple
$$u_z = \frac{F_z L^3 (4 + \phi_z)}{12 E I_y} \qquad \theta_y = \frac{-L^2 F_z}{2 E I_y} \qquad \phi_z = \frac{12 E I_z}{L^2 G A_z}$$
 Torsion
$$\theta_x = \frac{M_x L}{G J_x}$$
 Flexion pure
$$u_z = -\frac{M_y L^2}{2 E I_y} \qquad \theta_y = \frac{M_y L}{E I_y}$$
 Flexion pure
$$u_y = \frac{M_z L^2}{2 E I_z} \qquad \theta_z = \frac{M_z L}{E I_z}$$

Remarque 1:

Pour la section cornière, comme le centre de cisaillement n'est pas confondu avec le centre de gravité $\left(e_y\neq 0\right)$, il faut ajouter le moment de torsion : $M_x=F_ze_y$ au chargement $F_z=1$. Ceci modifie le déplacement :

$$u_z = \frac{F_z L^3 (4 + \phi_z)}{12 E I_v} + \theta_x e_y \quad \theta_x = \frac{M_x L}{G J_x}$$

De la même façon, le chargement $M_x=1$ entraı̂ne un déplacement $u_z=\theta_x e_y$. Chargement réparti linéaire :

$$u_{y}(x) = \frac{p x}{360 LEI} (3 x^{4} - 10 L^{2} x^{2} + 7 L^{4}) \quad u_{y}^{max} = \frac{0.00652 p L^{4}}{EI}$$

$$en x = 0.519 L$$

Remarque 2:

En ce qui concerne la modélisation A, la poutre est portée par le vecteur $e_1 = \frac{1}{\sqrt{3}} \begin{pmatrix} 1 \\ 1 \\ 1 \end{pmatrix}$. Les

autres vecteurs du repère local sont :
$$e_2 = \frac{1}{\sqrt{2}} \begin{pmatrix} -1\\1\\0 \end{pmatrix}$$
 et $e_3 = \frac{1}{\sqrt{6}} \begin{pmatrix} -1\\-1\\2 \end{pmatrix}$

Les composantes du vecteur déplacement dans le repère global sont obtenues par :

$$u_{G} = \begin{vmatrix} \frac{1}{\sqrt{3}} & \frac{-1}{\sqrt{2}} & \frac{-1}{\sqrt{6}} \\ \frac{1}{\sqrt{3}} & \frac{1}{\sqrt{2}} & \frac{-1}{\sqrt{6}} \\ \frac{1}{\sqrt{3}} & 0 & \frac{2}{\sqrt{6}} \end{vmatrix} u_{local}$$

Efforts généralisés et contraintes en O:

Responsable : Jean-Luc FLÉJOU

$$\begin{split} N(O) &= F_x & \sigma_{xx} = \frac{N}{S} \\ M_z(O) &= T_y L & T_y = F_y & \sigma_{xx}(y) = \frac{M_z y}{I_z} & \sigma_{xy} = \frac{T_y}{k_y S} \\ M_y(O) &= -T_z L & T_z(O) = F_z & \sigma_{xx}(y) = \frac{-M_y z}{I_y} & \sigma_{xz} = \frac{T_z}{k_z S} \\ M_x(0) &= M_x(B) & \sigma_{xy} = \sigma_{xz} = \frac{M_x R_T}{J_x} \\ M_y(0) &= M_y(B) & \sigma_{xx}(z) = \frac{M_y z}{I_y} \\ M_z(0) &= M_z(B) & \sigma_{xx}(y) = \frac{M_y y}{I_z} \end{split}$$

Chargement réparti linéaire :

$$\begin{split} M_{z}(x) = & \frac{-1000}{6} \left(L^{2}x - x^{3} \right) \quad V_{y}(x) = \frac{1000 L^{2}}{6} - \frac{1000 x^{2}}{2} \quad \sigma_{xx}^{max} = \frac{M_{z}^{max} R}{I_{z}} \\ & en \ x = \frac{L\sqrt{3}}{3} \end{split}$$

2.2 Résultats de référence

Déplacement du point $\,B\,$, Efforts généralisés au point $\,O\,$, Contraintes du point $\,O\,$.

2.3 Incertitude sur la solution

Solution analytique.

2.4 Références bibliographiques

1.J.L. BATOZ, G. DHATT: "Modélisation des structures par éléments finis" - Volume 2 Ed. HERMES. 2.N.D. PIKLEY: "Formulas for Stress, Stain & Structural Matrices" Ed. John Wiley & Sons.

Date: 24/04/2012 Page: 6/18 Responsable : Jean-Luc FLÉJOU Clé: V3.01.102 Révision: 8844

Modélisation A 3

3.1 Caractéristiques de la modélisation

2 éléments POU_D_E $k_v = k_z = 1$ $\phi = 0$ par type de section

S1 : Section rectangulaire modélisée par SECTION : 'GENERALE'

$$A = 0.02$$
 $I_y = 0.1666E - 4$ $I_z = 0.6666E - 4$ $J_x = 0.45776E - 4$

Point de calcul des contraintes

$$Ry = 0.1$$
 $Rz = 0.05$ $R_T = 0.0892632$

S2: Section cornière

$$A=1.856E-3$$
 $I_y=4.167339E-4$ $I_z=1.045547E-4$ $J_x=03.9595E-8$ $e_y=41.012E-3$ $e_z=0.0$

S3: Section rectangulaire modélisée par SECTION: RECTANGLE

$$Hy = 0.2$$
 $Hz = 0.1$

S4: Section CERCLE R=0.1

$$I_Y = I_Z = \frac{\pi R^4}{4} = \frac{\pi}{4} 10^{-4}$$

Caractéristiques du maillage 3.2

 4×2 éléments POU_D_E. La poutre est orientée selon le vecteur (1,1,1) .

Grandeurs testées et résultats 3.3

Cas de charge	Poutre	Identification	Référence
$F_x = 1$	S1 = S3	$u_{x}(B)$	2.887E-10
		$\theta_{xx}(0)$	50.
	S2	$u_x(B)$	3.11E-9
	<u>S4</u>	$u_x(B)$	1.838E-10
		σ_{xx}	31.83
$F_{v}=1$	S1 = S3		+1.414E-7
,		$\theta_z(B)$	1.225E-7
		$\sigma_{xx}(0)$	3000
	S2	$u_{v}(B)$	9.017E-8
	S4	$\sigma_{xx}(0)$	2546.479
$F_z = 1$	S1 = S3		6.532E-7
-		$\theta_{v}(B)$	-4.243E-7
		$\sigma_{xx}(0)$	6000
		$\sigma_{xz}(0)$	50
	S2	$u_z(B)$	9.279E-7
		$\theta_{v}(B)$	1.553E-5
		$\theta_x(B)$	1.555E-5
	S4	$u_z(B)$	1.386E-7
		$\theta_{v}(B)$	-9E-8
		$\sigma_{xx}(0)$	2546.479

Titre : SSLL102 - Poutre encastrée soumise à des efforts u[...]

Responsable : Jean-Luc FLÉJOU

Date : 24/04/2012 Page : 7/18

Clé : V3.01.102 Révision : 8844

bic . ocaii Lac i	LLUUU			Oic
		$\sigma_{\scriptscriptstyle \chi_Z}(0)$	31.831	
$M_x = 1$	S1=S3	$\frac{\sigma_{xz}(0)}{\theta_x(B)}$	3.279E-7	
			1950.0	
	S2	$\frac{\sigma_{xy} = \sigma_{xz}(0)}{\theta_x(B)}$	3.791E-4	
			2.199E-5	
	S4	$\frac{u_z(B)}{\theta_x(B)}$	9.556E-8	
			636.62	
$M_{\nu}=1$	S1 = S3	$\frac{\sigma_{xy} = \sigma_{xz}(0)}{u_z(B)}$	-4.899E-7	
,		$\theta_{v}(B)$	4.243E-7	
			3000	
	S2	$\sigma_{xx}(0)$ $u_z(B)$	-1.959E-8	
		$\theta_{y}(B)$	1.697E-8	
	S4	$u_z(B)$	-1.04E-7	
		$\theta_{v}(B)$	9.0E-8	
		$\sigma_{xx}(0)$	1273.2395	
$M_z = 1$	SI = S3	$u_{v}(B)$	1.061E-7	
		$\theta_z(B)$	1.225E-7	
			1500.0	
	S2	$\frac{\sigma_{xx}(0)}{u_y(B)}$	6.763E-8	
			7.809E-8	
	S4	$\frac{\theta_z(B)}{u_y(B)}$	9.0E-7	
		$\sigma_z(B)$	1.04E-7	
		$\sigma_{_{xx}}(0)$	1273.2395	
$M_y=1$	S1 = S3	$\sigma_{xx} max(0)$	4550.0	
$M_z = 1$ $F_x = 1$		$\sigma_{xx}\left(\frac{a}{2},\frac{b}{2}\right)$	1550.0	
X	S4	$\sigma_{xx} max(0)$	1832.4636	
$F_y = 1$	S1, S3	$\sigma_{xy}(0)$	2000.0	
$F_z^{y} = 1$		$\sigma_{xz}(0)$	2000.0	
$M_x = 1$		$\sigma_{xx} max(0)$	9000.0	
	S1, S3	$\sigma_{xx}\left(\frac{a}{2},\frac{b}{2}\right)$	-9000.0	
	S4	$\sigma_{xx} max(0)$	3601.27	
		$\sigma_{xy}(0)$	668.451	

Date: 24/04/2012 Page: 8/18

Titre : SSLL102 - Poutre encastrée soumise à des efforts u[...]

Responsable : Jean-Luc FLÉJOU Clé : V3.01.102 Révision : 8844

4 Modélisation B

4.1 Caractéristiques de la modélisation

2 éléments POU D T.

Les coefficients de cisaillement sont :

S1: Section rectangulaire

$$AY = AZ = 1.2 = \frac{1}{k_{y}}$$

S2: Section cornière

$$AY = AZ = \frac{1}{0.358}$$

S4: Section CERCLE

$$AY = AZ = \frac{10}{9}$$

4.2 Caractéristiques du maillage

 $4\!\times\!2$ éléments <code>POU_D_T</code>

4.3 Grandeurs testées et résultats

On donne seulement les valeurs qui diffèrent de la modélisation A (à cause de la prise en compte du cisaillement transverse).

Chargement	Section	Identification	Référence
$F_y = 1$	SI = S3	$u_y(B)$	2.0156E-7
		$\sigma_{_{xy}}(0)$	60.
	S2	$u_{v}(B)$	1.666552E-7
	<u>S4</u>	uy(B)	1.707308E-7
		$\sigma_{_{\scriptscriptstyle XV}}(0)$	37.13615
$F_z=1$	S1 , S3	$u_z(B)$	8.0156E-7
		$\sigma_{\scriptscriptstyle xz}(0)$	60.
	S2	$u_z(B)$	1.17559754E-6
	<u>S4</u>	$u_z(B)$	1.707308E-7
		$\sigma_{\scriptscriptstyle xz}(0)$	37.13615
$F_{\nu}=1$	S4	$\sigma_{xz}(0)$	673.75592
$F_z = 1$		$\sigma_{xy}(0)$	673.75592
$M_x = 1$			

Révision: 8844

Date: 24/04/2012 Page: 9/18

Clé: V3.01.102

Titre : SSLL102 - Poutre encastrée soumise à des efforts u[...]

Responsable : Jean-Luc FLÉJOU

5 Modélisation C

5.1 Caractéristiques de la modélisation

2 éléments POU D TG.

Le gauchissement n'est pas gêné.

Les coefficients de cisaillement sont identiques à ceux de la modélisation B.

5.2 Caractéristiques du maillage

 4×2 éléments POU_D_TG

5.3 Grandeurs testées et résultats

Chargement	Section	Identification	Référence
$F_{v}=1$	S1 = S3	$u_{y}(B)$	2.0156E-7
,		$\theta_{xy}(0)$	60.
	S2	$u_{v}(B)$	1.666552E-7
	S4	$u_{\nu}(B)$	1.70684E-7
		$\theta_{xy}(0)$	35.367765
$F_z=1$	S1 , S3	$u_z(B)$	8.0156E-7
		$\theta_{xz}(0)$	60.
	S2	$u_z(B)$	1.17559754E-6
	S4	$u_z(B)$	1.70684E-7
		$\theta_{xz}(0)$	35.367765

5.4 Remarque

Le gauchissement n'est pas gêné. Les résultats sont donc identiques à ceux de la modélisation B.

Date: 24/04/2012 Page: 10/18 Responsable : Jean-Luc FLÉJOU Clé: V3.01.102 Révision: 8844

Modélisation D 6

6.1 Caractéristiques de la modélisation

Éléments POU D TG, torsion gênée

$$JG = \begin{cases} 5.5556E - 8 \ pour S_1 \\ 4.439822E - 11 \ pour S_2 \end{cases}$$

en 0
$$GRX = 0$$

6.2 Caractéristiques du maillage

- •10 éléments.
- raffinement vers l'encastrement.

6.3 Grandeurs testées et résultats

Mêmes résultats que pour la modélisation C, sauf ceux qui concernent les effets de gauchissement.

Chargement	Section	Identification	Référence
$F_z=1$	S2	$\theta_x = DRX$	2.62034E-5
		$u_z = DZ$	1.14578E-6
		\overline{GRX}	1.34652E-5
$M_x=1$	S1	$u_z = DZ$	5.52E-7
		GRX	2.84E-7
	S2	u_z	2.6203E-5
		θ_x	6.3892E-4
		ĞRX	3.28324E-4

6.4 Remarques

Pour θ_x la solution est (cf [bib1]) :

$$\theta_x = \frac{M_x L}{G J_x} + \frac{M_x \left(1 - e^{2\alpha L} - 2 e^{\alpha L}\right)}{\alpha^3 E J G \left(1 + e^{2\alpha L}\right)} \quad \alpha^2 = \frac{G J}{E J G}$$

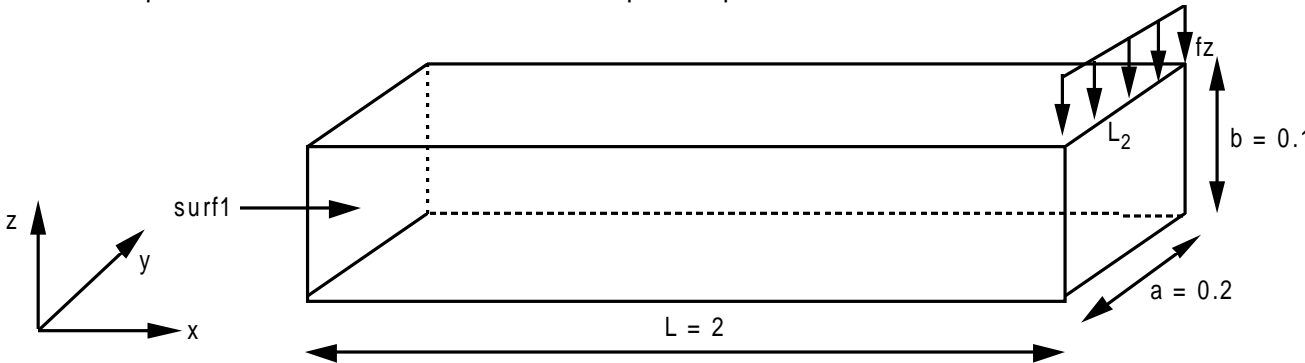
Titre : SSLL102 - Poutre encastrée soumise à des efforts u[...]
Responsable : Jean-Luc FLÉJOU

Date : 24/04/2012 Page : 11/18 Clé : V3.01.102 Révision : 8844

7 Modélisation E

7.1 Caractéristiques de la modélisation

La poutre est maillée en éléments massifs quadratiques HEXA20.



La poutre est encastrée au niveau de la section surf1. Elle est soumise à un effort tranchant unitaire qui est modélisé par une densité linéique de charge fz s'appliquant sur les 4 mailles <code>SEG3</code> constituant l'arête supérieure L2.

7.2 Caractéristiques du maillage

La poutre est maillée avec 640 éléments massifs quadratiques HEXA20. Le modèle comporte 3665 nœuds.

7.3 Grandeurs testées et résultats

On teste la valeur de la flèche selon z du nœud milieu de la section où l'on applique le chargement (nœud N62).

Identification	Référence	Aster	% différence
dz du nœud $N62$	-8.0E-7	-7.9523E-7	-0.596

7.4 Remarques

La valeur de référence correspond à la valeur donnée par la Résistance Des Matériaux.

Titre : SSLL102 - Poutre encastrée soumise à des efforts u[...]

Responsable : Jean-Luc FLÉJOU

Date : 24/04/2012 Page : 12/18

Clé : V3.01.102 Révision : 8844

8 Modélisation F

8.1 Caractéristiques de la modélisation

Le modèle est composé de 10 éléments poutre droite d'Euler. La section est circulaire pleine, de rayon $0.1\mathrm{m}$.

8.2 Caractéristiques du maillage

Il est constitué de 10 éléments POU D E. La longueur de la poutre est $L=6\,m$

8.3 Grandeurs testées et résultats

8.3.1 Efforts intérieurs

	Résultats analytiques
$V_{y}(0)$	6.0000E+03
$V_{y}(6)$	-1.2000E+04
$MFZ (2\sqrt{3})$	-1.3856E+04

8.3.2 Contrainte

	Résultats analytiques
$SIXX (2\sqrt{3})$	1.7642E+07

Titre : SSLL102 - Poutre encastrée soumise à des efforts u[...]

Responsable : Jean-Luc FLÉJOU

Date : 24/04/2012 Page : 13/18

Clé : V3.01.102 Révision : 8844

9 Modélisation G

9.1 Caractéristiques de la modélisation

Le modèle est composé de 10 éléments poutre droite de Timoshenko avec gauchissement. La section est circulaire pleine, de rayon $0.1 \mathrm{m}$.

9.2 Caractéristiques du maillage

Il est constitué de 10 éléments POU D TG. La longueur de la poutre est $L\!=\!6\,m$

9.3 Grandeurs testées et résultats

9.3.1 Efforts intérieurs

	Résultats analytiques
$V_{y}(0)$	6.0000E+03
$V_{y}(6)$	-1.2000E+04
$MFZ (2\sqrt{3})$	-1.3856E+04

9.3.2 Déplacement (flèche proche du milieu de la poutre)

	Résultats Aster (non régression)	Tolérance (%)
DY (3.115977734)	3.23499E-03	1.E-4

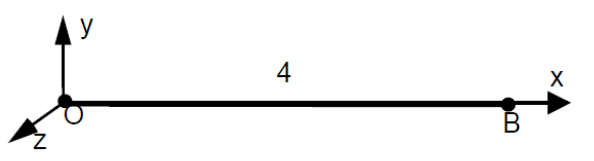
Révision: 8844

Titre: SSLL102 - Poutre encastrée soumise à des efforts u[...]

Responsable : Jean-Luc FLÉJOU

Modélisation H 10

10.1 Caractéristiques de la modélisation



Modélisation COQUE_C_PLAN

Section rectangulaire

- Conditions limites : Point O $u = v = \theta_z = 0$

Clé: V3.01.102

Date: 24/04/2012 Page: 14/18

- Chargement unitaire: Point B F_x, F_v et M_z

10.2 Caractéristiques du maillage

Nombre de nœuds : 9

Nombre de mailles et types : 4 SEG3

10.3 Grandeurs testées et résultats

Cas de charge	Poutre	Identification	Référence
$F_x = 1$	S1	$u_x(B)$	5.E-10
		$\sigma_{_{\chi\chi}}(0)$	5.0
$F_{v}=1$	S1	$u_{\nu}(B)$	2.E-7
,		$\theta_z(B)$	1.5E-7
		$\sigma_{_{\chi\chi}}(0)$	300.0
$M_z = 1$	SI	$u_{v}(B)$	1.5E-7
-		$\theta_z(B)$	1.5E-7
		$\sigma_{_{\chi\chi}}(0)$	150.0

Cas de charge	Poutre	Identification	Valeur Aster	% différence
OMEGA = 100	S1	$u_x(B)$	0.0104	NON_REGRESSION
		$\sigma_{_{_{_{\mathcal{X}\!X}}}}\!(0)$	1.576E+8	NON_REGRESSION

10.4 Remarques

La largeur pour la modélisation COQUE C PLAN est imposée à 1 dans Code Aster. En conséquence, nous avons multiplié par 0.1 le module d'Young pour tenir compte de la largeur réelle de la poutre.

Cette largeur de 1 modifie l'inertie de la poutre et par conséquent la valeur de la contrainte σ_{xx} qui est 10 fois inférieure à la valeur de référence. En outre, pour les déplacements, les résultats diffèrent de la modélisation A à cause du changement de repère.

Pour le chargement en rotation, on compare un calcul où l'axe de rotation est confondu avec l'origine avec le même calcul où le maillage et l'axe de rotation sont translatés (pour tester le mot-clé

Les valeurs calculées sont bien égales et testées en NON REGRESSION.

Titre : SSLL102 - Poutre encastrée soumise à des efforts u[...]
Responsable : Jean-Luc FLÉJOU

Date : 24/04/2012 Page : 15/18 Clé : V3.01.102 Révision : 8844

11 Modélisation I

11.1 Caractéristiques de la modélisation

Le modèle est composé de 21 éléments ${\tt TUYAU_3M}$ s'appuyant sur des mailles ${\tt SEG4}$. L'effort réparti est imposé suivant l'axe y. la flexion a donc lieu autour de z.

11.2 Caractéristiques du maillage

Il est constitué de 21 mailles SEG3. La longueur du tuyau est $L=6\,m$

11.3 Grandeurs testées et résultats

11.3.1 Déplacements

	Résultats analytiques
D_y maxi	9.38888E-03

11.3.2 Efforts intérieurs

	Resultats analytiques
$V_{y}(x=0)$	6.0000E+03
$V_y(x=L=6)$	-1.2000E+04
$MFZ2\sqrt{3}$	-1.3856E+04

11.3.3 Contraintes

Elle sont calculées au point d'abscisse $x = \frac{L\sqrt{3}}{3}$ qui correspond au moment maximum :

$$M_z(x) = \frac{-1000}{9\sqrt{(3)}} L^3 = -13856.41 \, N.m$$

Pour l'angle 0 sur la circonférence du tuyau (l'origine des angles étant l'axe z), les contraintes sont nulles, et pour l'angle 90, elles sont maximum : $\sigma_{xx}^{max} = \frac{M_z^{max}(R-e/2)}{I_z} = -4.87363 \mathrm{E} + 07 \, Pa$

	Référence	Tolérance
$\sigma_{xx}(\alpha=0)$	0	0.10%
$\sigma_{xx}(\alpha=90)$	-4.87363E+07	1.00%
MFZ	-1.3856E+04	1.%

Version default

Titre : SSLL102 - Poutre encastrée soumise à des efforts u[...]

Responsable : Jean-Luc FLÉJOU

Date : 24/04/2012 Page : 16/18

Clé : V3.01.102 Révision : 8844

12 Modélisation J

12.1 Caractéristiques de la modélisation

Le modèle est composé de 2 éléments POU_D_EM . Le chargement est similaire à celui de la modélisation A (moment de torsion uniquement)

12.2 Caractéristiques du maillage

Il est constitué de 2 mailles SEG2. La longueur de la poutre est L=2m

La poutre est orientée selon le vecteur (1,1,1).

La section est rectangulaire, identique à celle de la modélisation $\,A\,$.

12.3 Grandeurs testées et résultats

12.3.1 Déplacement (rotation due au moment de torsion)

	Résultats Aster (non régression)	Tolérance (%)
DX = DY = DZ	3.2792525E-07	1.E-6

Titre : SSLL102 - Poutre encastrée soumise à des efforts u[...]

Responsable : Jean-Luc FLÉJOU

Date : 24/04/2012 Page : 17/18

Clé : V3.01.102 Révision : 8844

13 Modélisation K

13.1 Caractéristiques de la modélisation

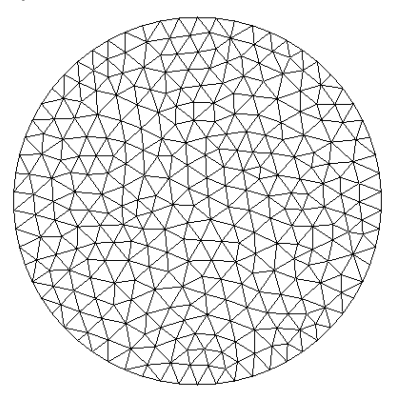
Le modèle est composé de 10 éléments POU_D_EM. On applique une force répartie de $6000\mathrm{N}/m$ sur toute la poutre.

13.2 Caractéristiques du maillage

Il est constitué de 10 mailles SEG2. La longueur de la poutre est $L=6\,m$

Le maillage de la section est constitué de :

- 373 nœuds
- **62** SEG2
- **682** TRIA3



13.3 Grandeurs testées et résultats

13.3.1 Efforts intérieurs

Efforts intérieurs	Résultats analytiques
$V_{y}(0)$	6.0000E+03
$V_{y}(6)$	-1.2000E+04
\overline{MFZ}	-1.3856E+04

13.3.2 Déplacement (flèche proche du milieu de la poutre)

	Résultats Aster (non régression)	Tolérance (%)
<i>DY</i> (3.115977734)	3.23499E-03	1.E-4

Titre : SSLL102 - Poutre encastrée soumise à des efforts u[...]

Date : 24/04/2012 Page : 18/18

Responsable : Jean-Luc FLÉJOU

Clé : V3.01.102 Révision : 8844

14 Synthèse des résultats

Ce test permet de vérifier simultanément le bon fonctionnement des éléments POU_D_E , POU_D_T et POU_D_T G sur 3 types de sections différentes. La coïncidence parfaite des résultats avec les solutions analytiques (RDM) est normale, et doit toujours être observée, puisque la solution est contenue dans les fonctions de forme des éléments.

Version

default

De plus, la modélisation E permet de tester le chargement réparti sur des arêtes d'éléments volumiques. L'écart à la solution analytique (RDM) est inférieur à 0.6% .

Les modélisations F, G, I et K permettent de tester le chargement réparti (variation linéaire) pour les éléments de poutre POU_D_E, POU_D_TG, POU_D_EM et les éléments de TUYAU. L'écart à la solution analytique (Résistance des Matériaux) est inférieur à 0.6%.

Pour la modélisation <code>COQUE_C_PLAN</code> les résultats sont satisfaisants (déplacements et contraintes) pour les chargements unitaires de type extension et flexion (moment imposé). Pour le chargement de flexion (charge imposée à une extrémité) l'erreur sur le déplacement est faible et inférieure à 0.5%. Elle est plus importante sur la contrainte : 3.6%.